

2012年10月29日  
千代田実験水路における実験研究報告会

# 越水破堤プロセスの簡易モデル —破堤口からの横越流量の算定—

北海道大学工学研究院  
泉 典洋, 徳川亜以子

# 破堤部の横越流量

## De Marchiの方程式

破堤部で比エネルギーが保存すると仮定

$$E = \frac{Q^2}{2gA^2} + h = \text{const.} \longrightarrow Q = Bh\sqrt{2g(E-h)}$$

単位幅当たりの流量

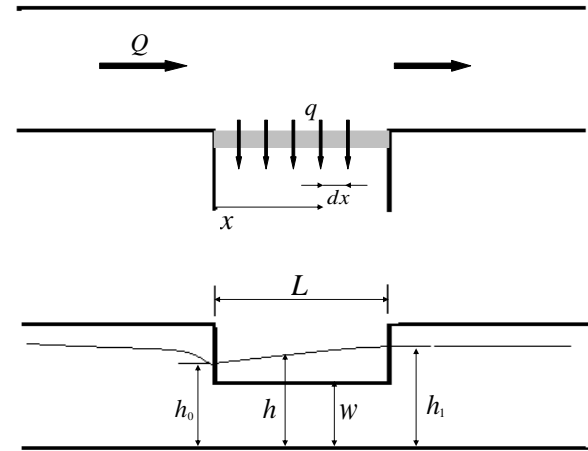
$$q_w = \frac{2}{3} C_M \sqrt{2g} (h-w)^{\frac{3}{2}}$$

$$\left\{ \begin{aligned} \phi(h) &= \frac{2E-3w}{E-w} \sqrt{\frac{E-h}{h-w}} - 3 \tan^{-1} \sqrt{\frac{E-h}{h-w}} \\ L &= \frac{3B}{2C_M} [\phi(h_1) - \phi(h_0)] \end{aligned} \right.$$

$L$ : 破堤幅

$h_0$ : 破堤部上流端の水深

$h_1$ : 破堤部下流端の水深



$x$ : 流下方向座標

$y$ : 水深方向座標

$B$ : 河道幅

$w$ : 破堤部の高さ

$h$ : 水深

$Q$ : 流量

$A$ : 河道断面積 ( $A = Bh$ )

# 総越流量

$$q_w = \frac{dQ}{dx}$$

$$Q_w = \int_0^L q_w dx = \sqrt{2gB} \left( h_0 \sqrt{E - h_0} - h_1 \sqrt{E - h_1} \right)$$

$$Q_u = \sqrt{2gB} h_0 \sqrt{E - h_0}$$

$$Q_d = \sqrt{2gB} h_1 \sqrt{E - h_1}$$

$$Q_w = Q_u - Q_d$$

## 破堤部より下流域

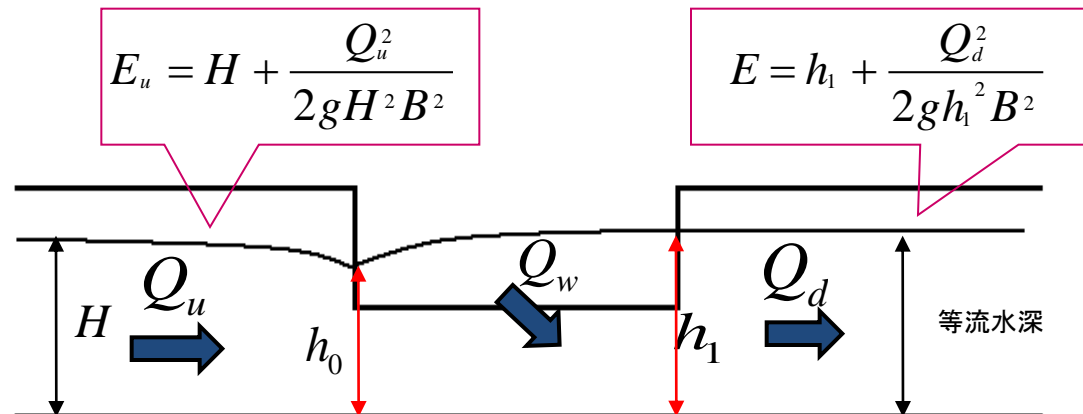
下流域でも等流状態  
 常流の場合、等流状態に漸近する  
 水面形は存在しない  
 破堤部下流端で等流水深 $h_1$

$$Q_d = \frac{1}{n} B h_1^{\frac{5}{3}} S^{\frac{1}{2}}$$

## 破堤部より上流域

十分上流域では等流状態  
 水深 $H$ 一定

$$Q_u = \frac{1}{n} B H^{\frac{5}{3}} S^{\frac{1}{2}}$$



# 無次元化

$$(Q_u, Q_w, Q_d) = \sqrt{gH_c^3 B} (Q_u^*, Q_w^*, Q_d^*)$$

$$(h, h_0, h_1, w, H) = H_c (h^*, h_0^*, h_1^*, w^*, H^*)$$

$$q_w = \sqrt{gH_c^3} q_w^*$$

$$(L, x) = \frac{3B}{2C_M} (L^*, x^*)$$

$$M^* = \frac{H_c^{\frac{1}{6}} S^{\frac{1}{2}}}{n\sqrt{g}}$$

$$H_c = \sqrt[3]{\frac{Q_u^2}{gB^2}}$$

$H_c$  : 破堤部より上流域での流量  $Q_u$   
に対応した限界水深

$$Q_u^* = \frac{Q_u}{\sqrt{gH_c} H_c B} = 1$$

$$M^* H_c^{\frac{5}{3}} = 1$$

$$F_r = \frac{Q_u}{\sqrt{gH}HB} = \frac{Q_u^*}{H^{\frac{3}{2}}} = H^{*\frac{-3}{2}} = M^{*\frac{9}{10}}$$

$$E_u^* = H^* + \frac{1}{2H^{*2}}$$

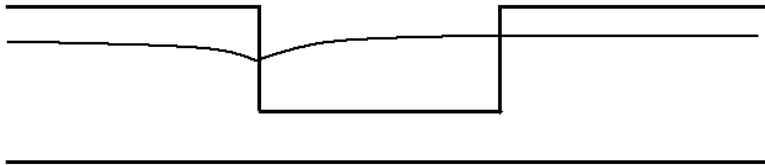
$$Q_u^* = \sqrt{2h_0^*} \sqrt{E_u^* - h_0^*} = 1$$

$$E^* = h_1^* + \frac{M^{*2}}{2} h_1^{*\frac{4}{3}}$$

破堤幅  $L$  および破堤部高さ  $w$ ,  
 $M^*$  が判れば,  $Q$  が判る

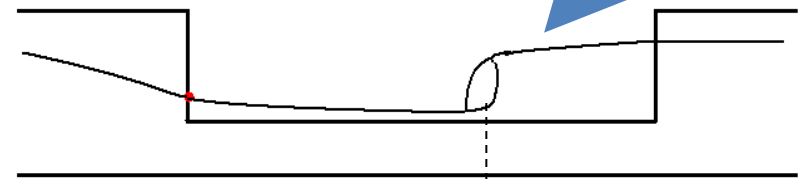
# 破堤幅と水面形

破堤幅 $L$ が十分小さい場合



破堤部全域で常流

破堤幅 $L$ が更に増加すると

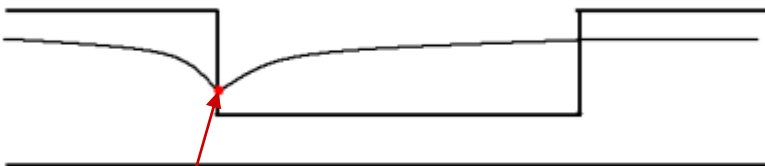


跳水

破堤部上流部分で射流

下流で常流

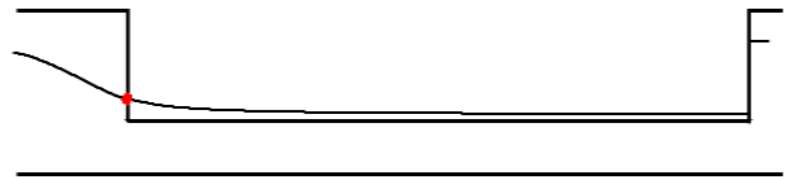
破堤幅 $L$ がある値まで増加すると



限界水深

- ・破堤部全域で常流状態
- ・破堤部上流端で限界水深

破堤幅 $L$ が十分大きい場合



- ・破堤部全域で射流状態
- ・破堤部下流端で跳水が発生

# 破堤部全域で常流となる場合

破堤部全域で常流となるためには

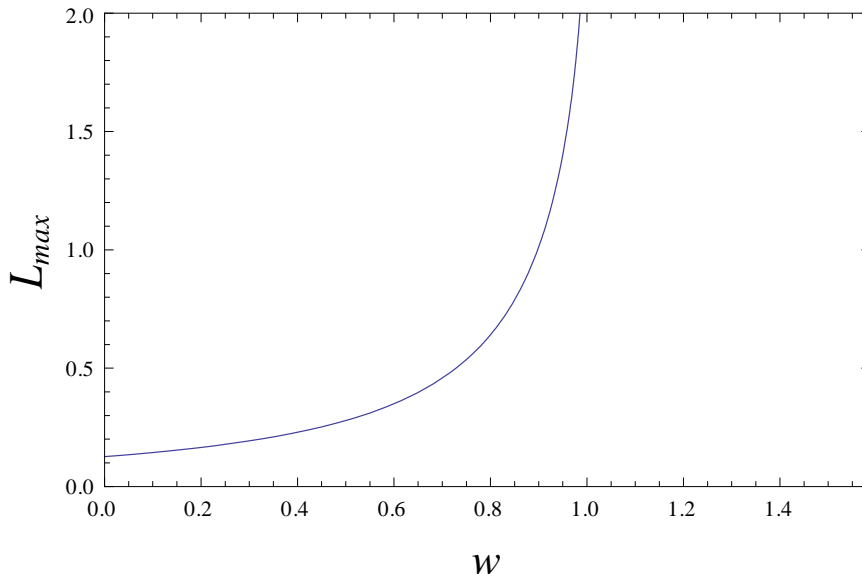
$$L < L_{\max}$$

$$L_{\max} = \phi(h_1) - \phi(1)$$

破堤部上流端で  
無次元水深が1と  
なる $L$ を $L_{\max}$ とす  
ると

$$h_0 = 1$$

$L_{\max}$ : 破堤部上流端が限界水深となる $L$



曲線の下領域では射流が現れない

$$H = M^{\frac{3}{5}} \quad M = F_u^{\frac{10}{9}}$$

上流での比エネルギー — 下流での比エネルギー —

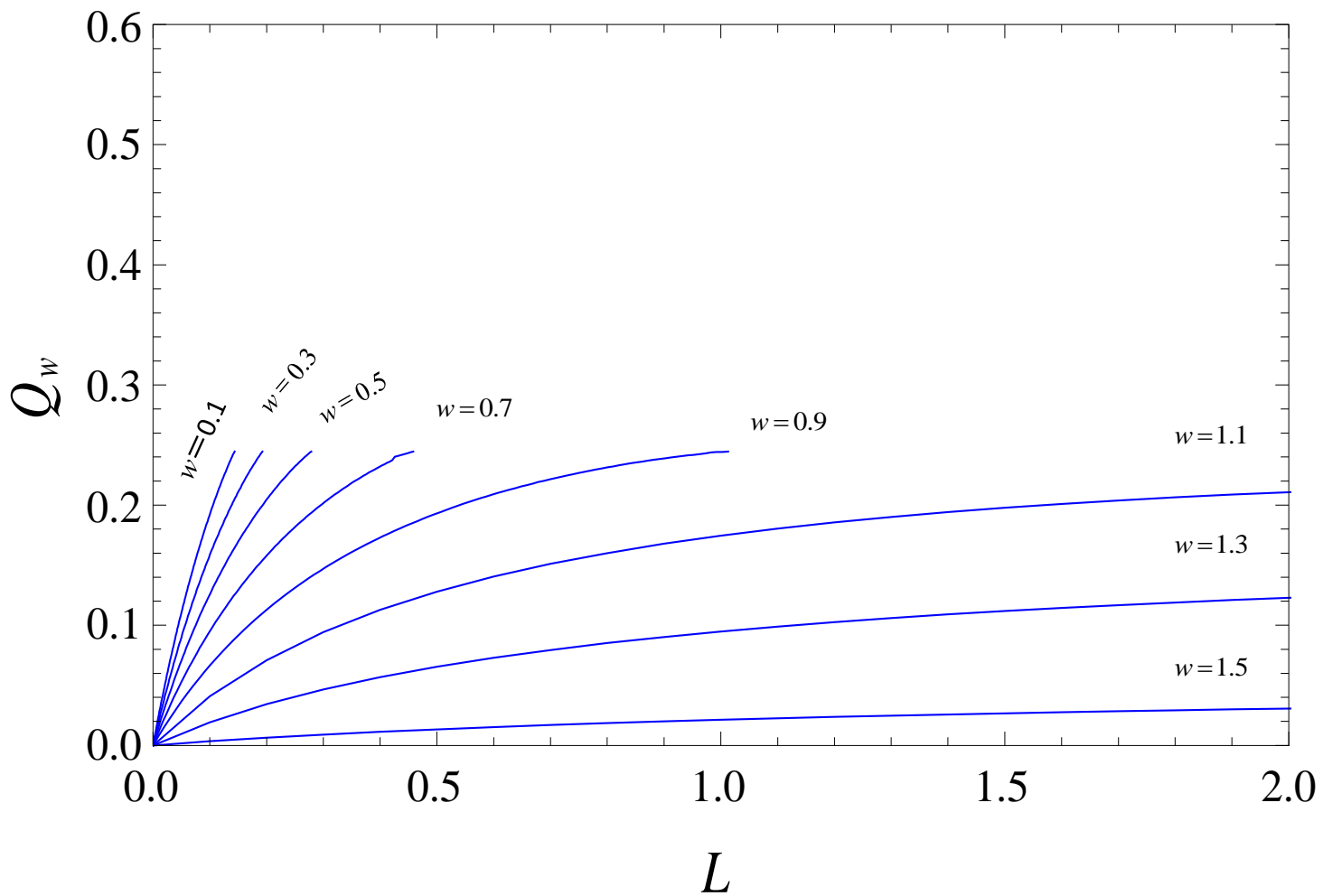
$$E_u = H + \frac{1}{2H^2} \quad E = h_1 + \frac{M^2}{2} h_1^{\frac{4}{3}}$$

$$\left\{ \begin{array}{l} L = \phi(h_1) - \phi(h_0) \\ \phi(h) = \frac{2E - 3w}{E - w} \sqrt{\frac{E - h}{h - w}} - 3 \tan^{-1} \sqrt{\frac{E - h}{h - w}} \\ \sqrt{2} h_0 \sqrt{h_1 + \frac{M^2}{2} h_1^{\frac{4}{3}} - h_0} = 1 \end{array} \right.$$

$$\longrightarrow h_0, h_1$$

$$\longrightarrow Q_d = M h_1^{\frac{5}{3}}$$

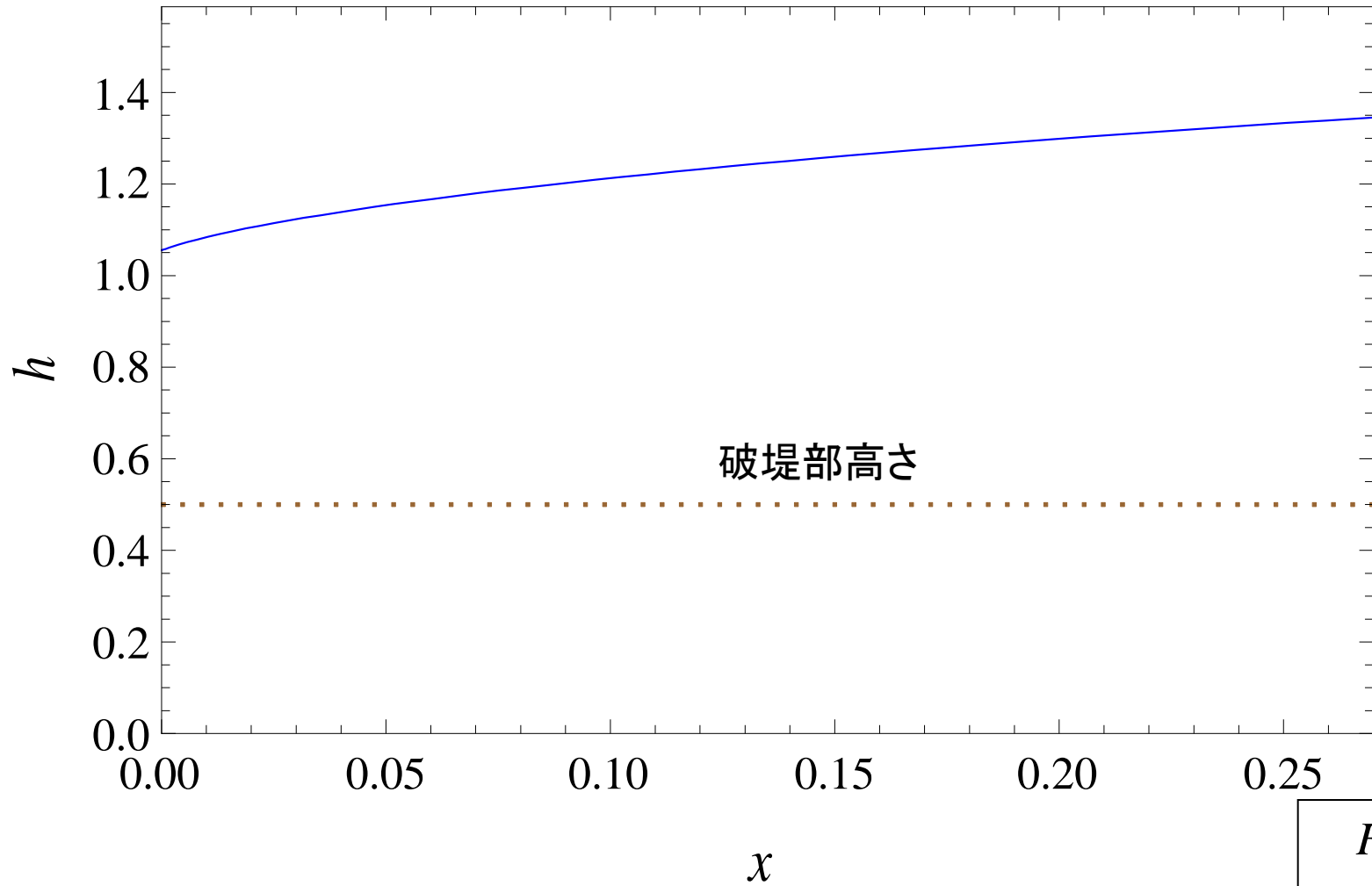
$$\longrightarrow Q_w = 1 - Q_d$$



$$F_u = 0.5$$

破堤部上流端

破堤部下流端



破堤部高さ

$$F_u = 0.5$$

$$w = 0.5$$

$$L = 0.27$$



# 破堤部に射流が現れる場合

$L > L_{\max}$  のとき射流部が現れる

跳水が生じると比エネルギーが減少する

跳水前

$$h_0 = 1 \longrightarrow E = \frac{3}{2} \quad \left\langle Q_u^* = \sqrt{2}h_0^* \sqrt{E^* - h_0^*} = 1 \right\rangle$$

水面形

$$\begin{cases} x_j(h) = \phi(h) - \phi(1) \\ \phi(h) = \frac{2E - 3w}{E - w} \sqrt{\frac{E - h}{h - w}} - 3 \tan^{-1} \sqrt{\frac{E - h}{h - w}} \end{cases}$$

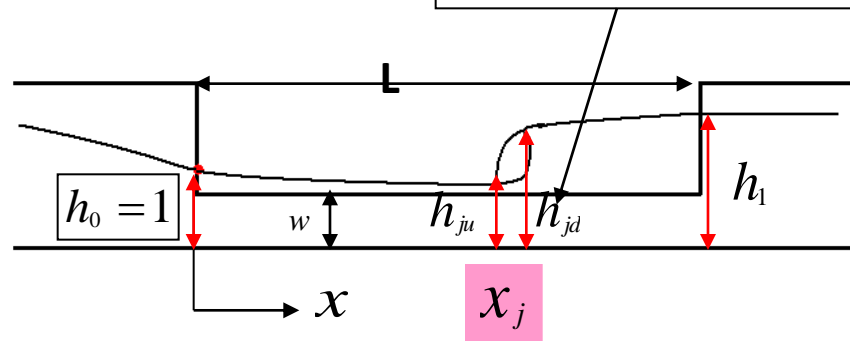
跳水後

$$E_d = h_1 + \frac{M^2}{2} h_1^3$$

水面形

$$\begin{cases} L - x_j = \phi_d(h_1) - \phi_d(h_{jd}) \\ \phi_d(h) = \frac{2E_d - 3w}{h - w} \sqrt{\frac{E_d - h}{h - w}} - 3 \tan^{-1} \sqrt{\frac{E_d - h}{h - w}} \end{cases}$$

$$h_{jd} = \frac{2}{3} E_d = \frac{2}{3} \left( h_1 + \frac{M^2}{2} h_1^3 \right)$$



$x_j$  : 跳水位置の  $x$  座標

$h_{ju}, h_{jd}$  : 跳水前後の  $x$  座標

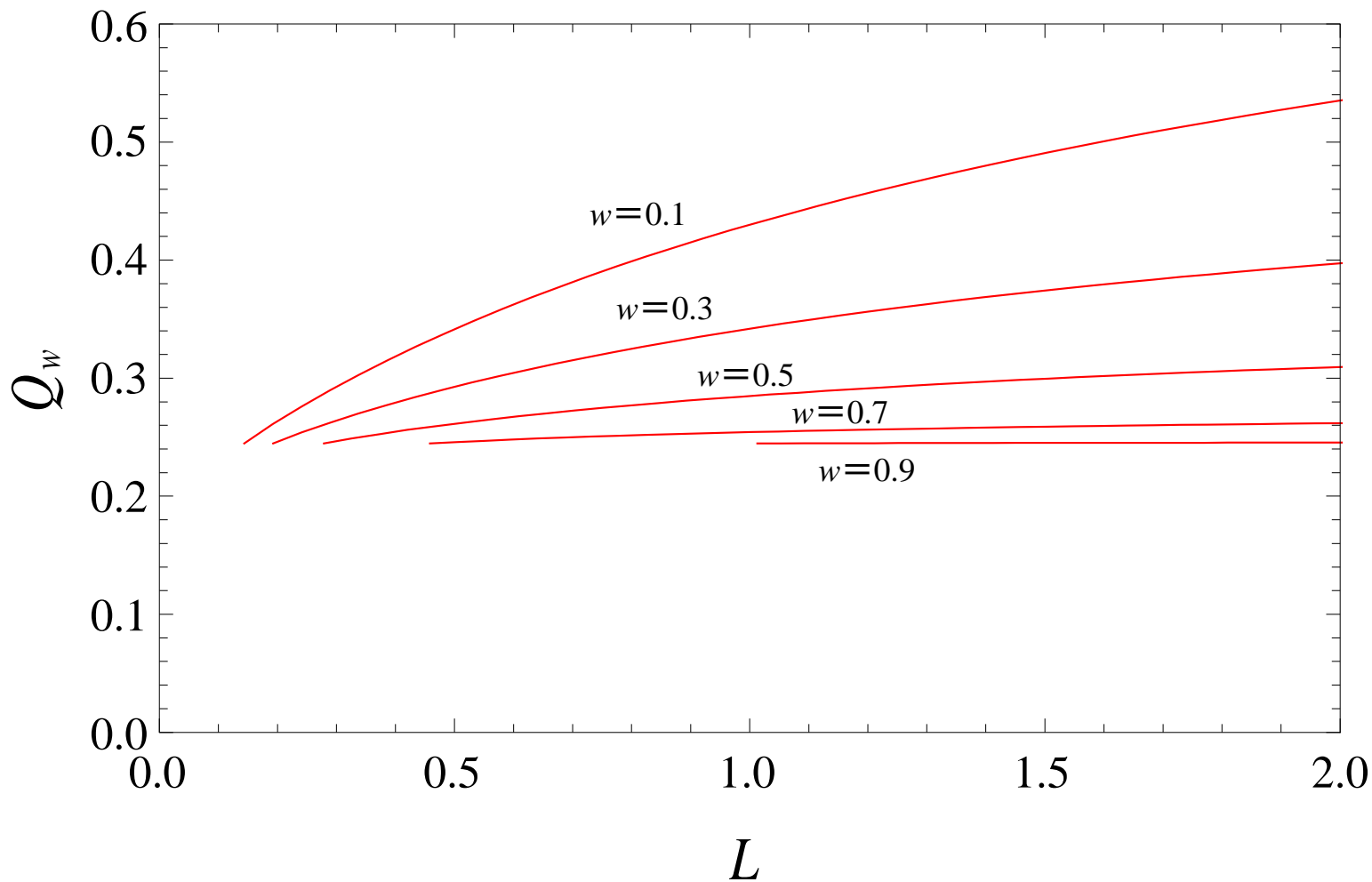
$Q_j$  : 跳水箇所での流量

共役水深の関係から

$$h_{jd} = -\frac{1}{2} + \frac{\sqrt{h_{ju}^4 + 8Q_j h_{ju}}}{2h_{ju}} \quad Q_j = -\frac{1}{2} + h_{ju} \sqrt{3 - 2h_{ju}}$$

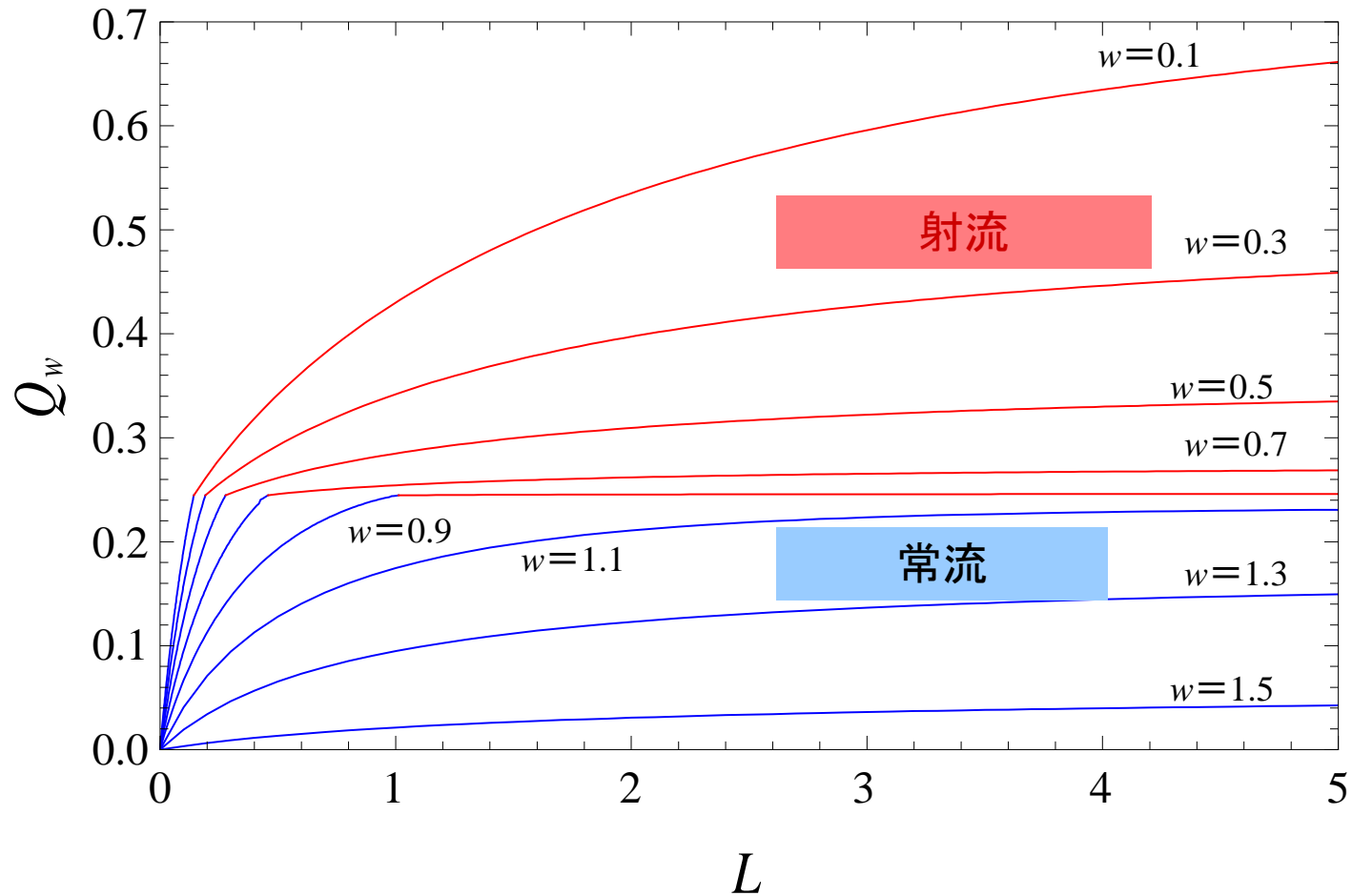
$$L = \phi_d(h_1) - \phi_d(h_{jd}) - \phi(h_{ju}) + \phi(1)$$

$$Q_w = -\frac{1}{2} + h_{ju} \sqrt{3 - 2h_{ju}} + \sqrt{2(h_{jd} \sqrt{E_d - h_{jd}} - h_1 \sqrt{E_d - h_1})}$$



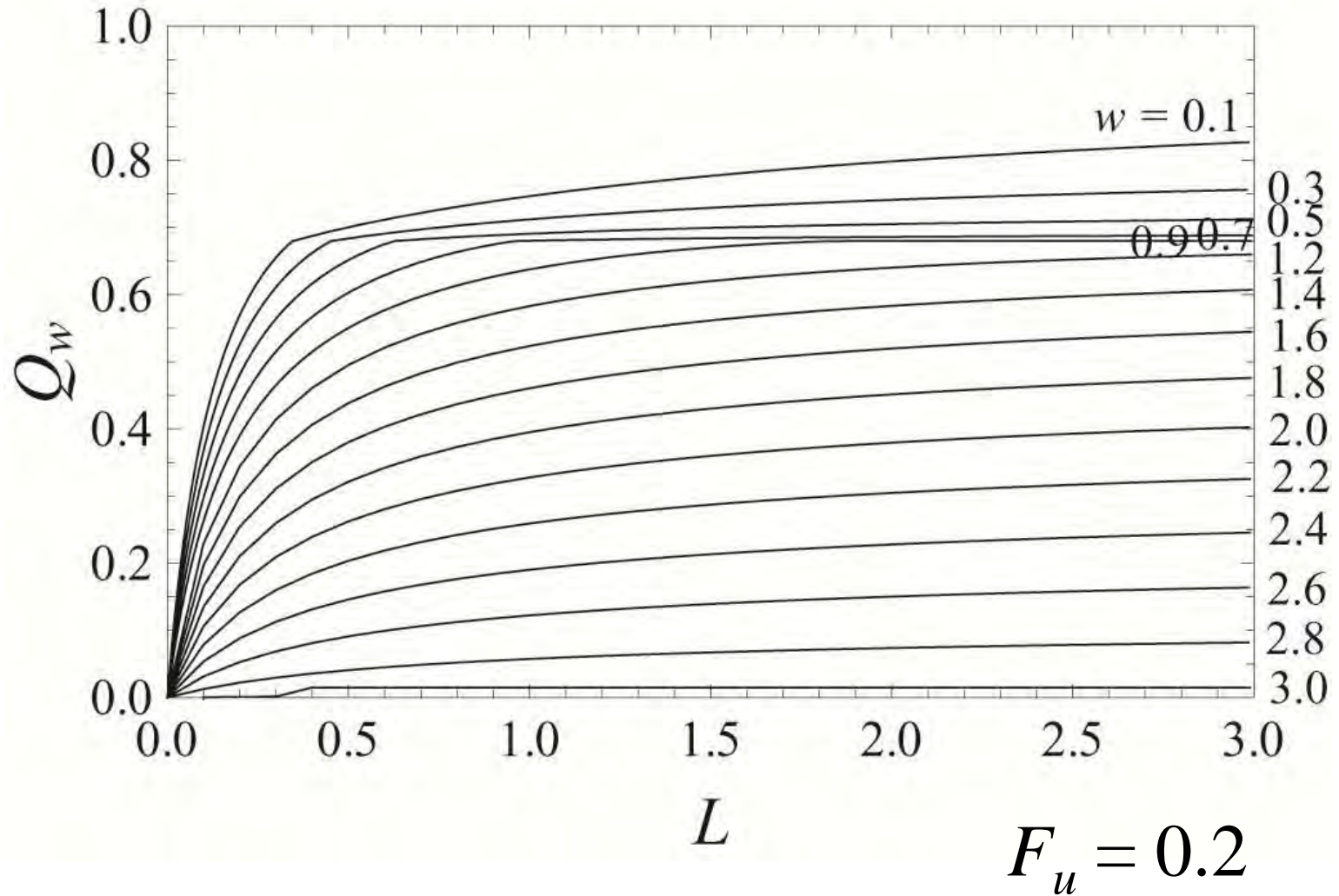
$$F_u = 0.5$$

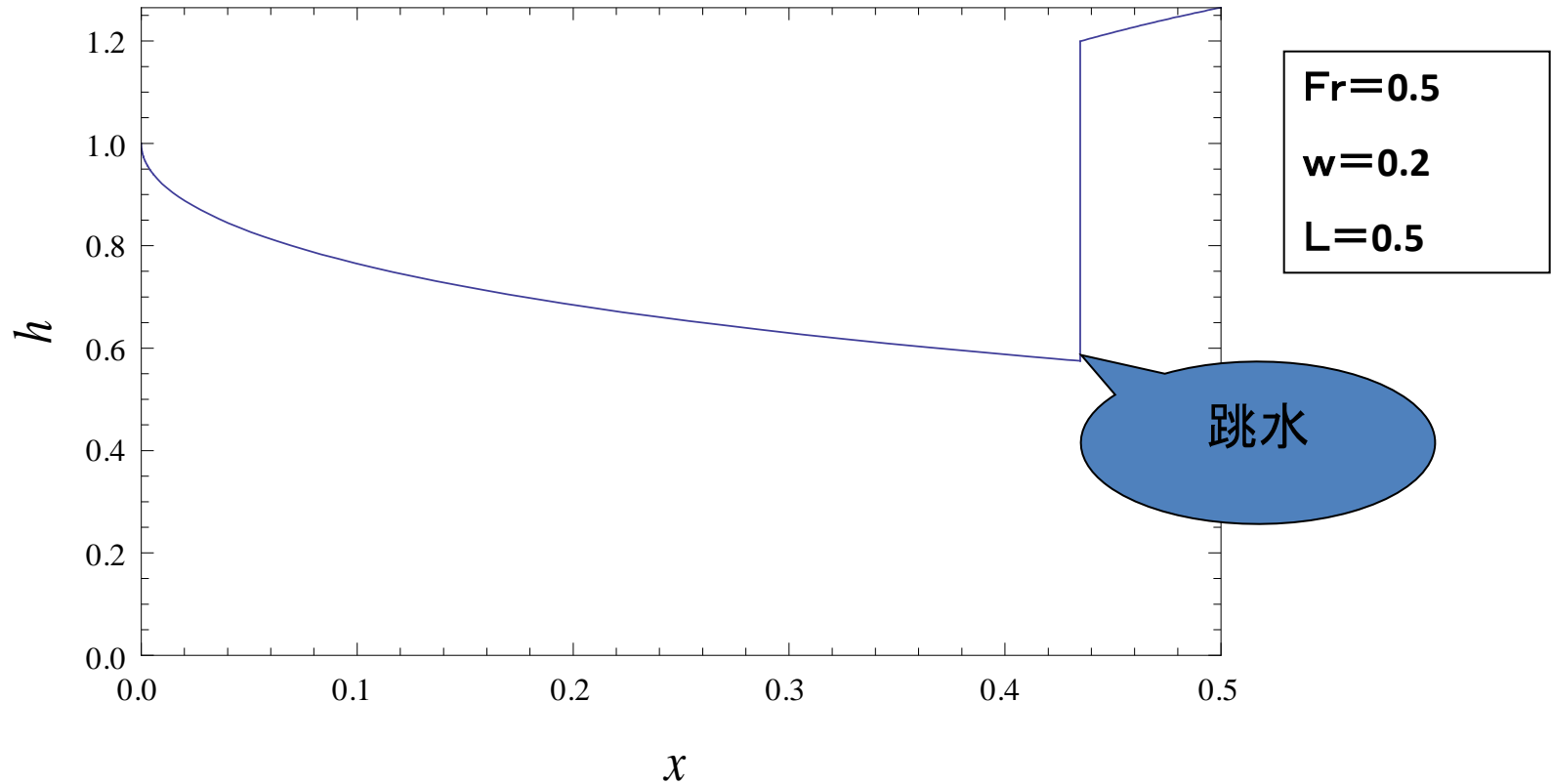
# 決壊口幅の増加に伴う総流量の変化



$$F_u = 0.5$$

# 決壊口幅の増加に伴う総流量の変化





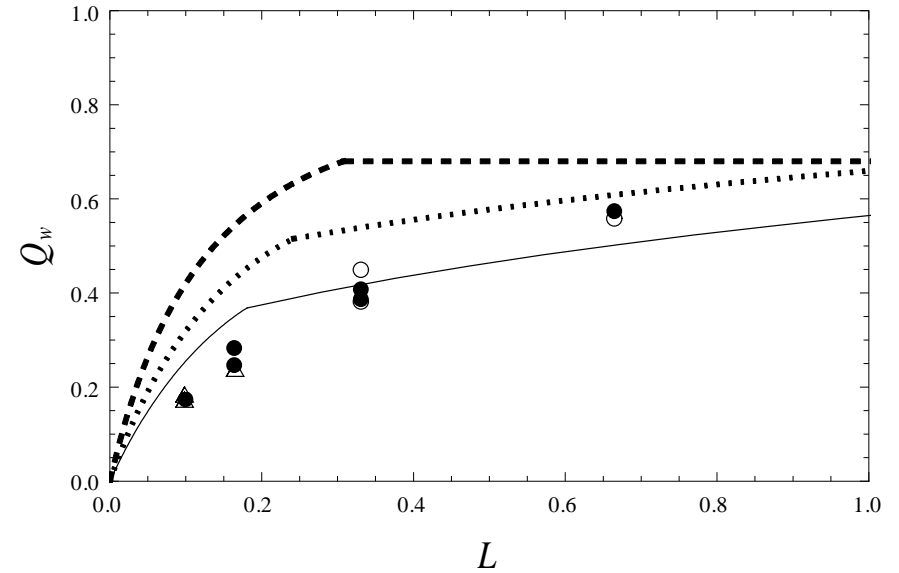
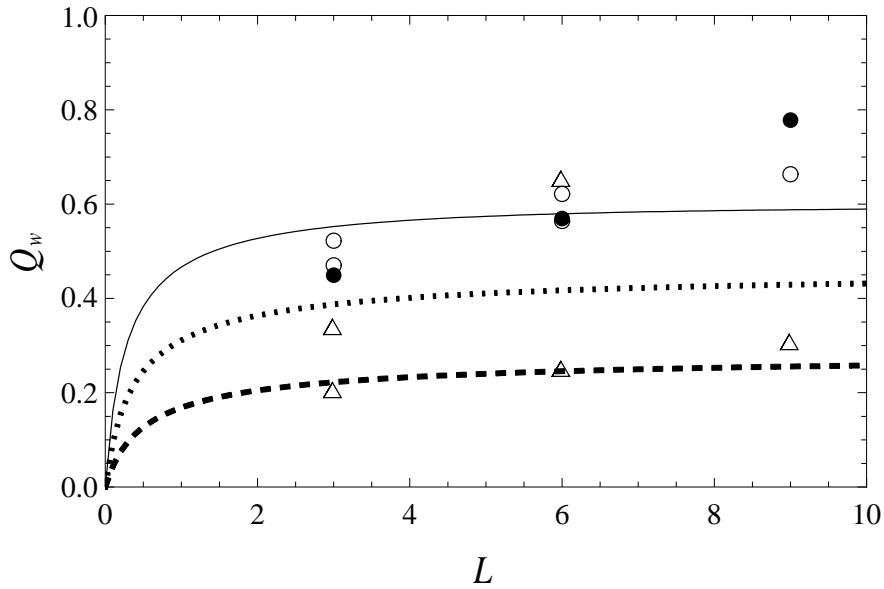
**跳水前**

$$\begin{cases} x_j(h) = \phi(h) - \phi(1) \\ \phi(h) = \frac{2E - 3w}{E - w} \sqrt{\frac{E - h}{h - w}} - 3 \tan^{-1} \sqrt{\frac{E - h}{h - w}} \end{cases}$$

**跳水後**

$$\begin{cases} L - x_j = \phi_d(h_1) - \phi_d(h_{jd}) \\ \phi_d(h) = \frac{2E_d - 3w}{h - w} \sqrt{\frac{E_d - h}{h - w}} - 3 \tan^{-1} \sqrt{\frac{E_d - h}{h - w}} \end{cases}$$

# 実験値との比較



Fr = 0.22, n = 0.025

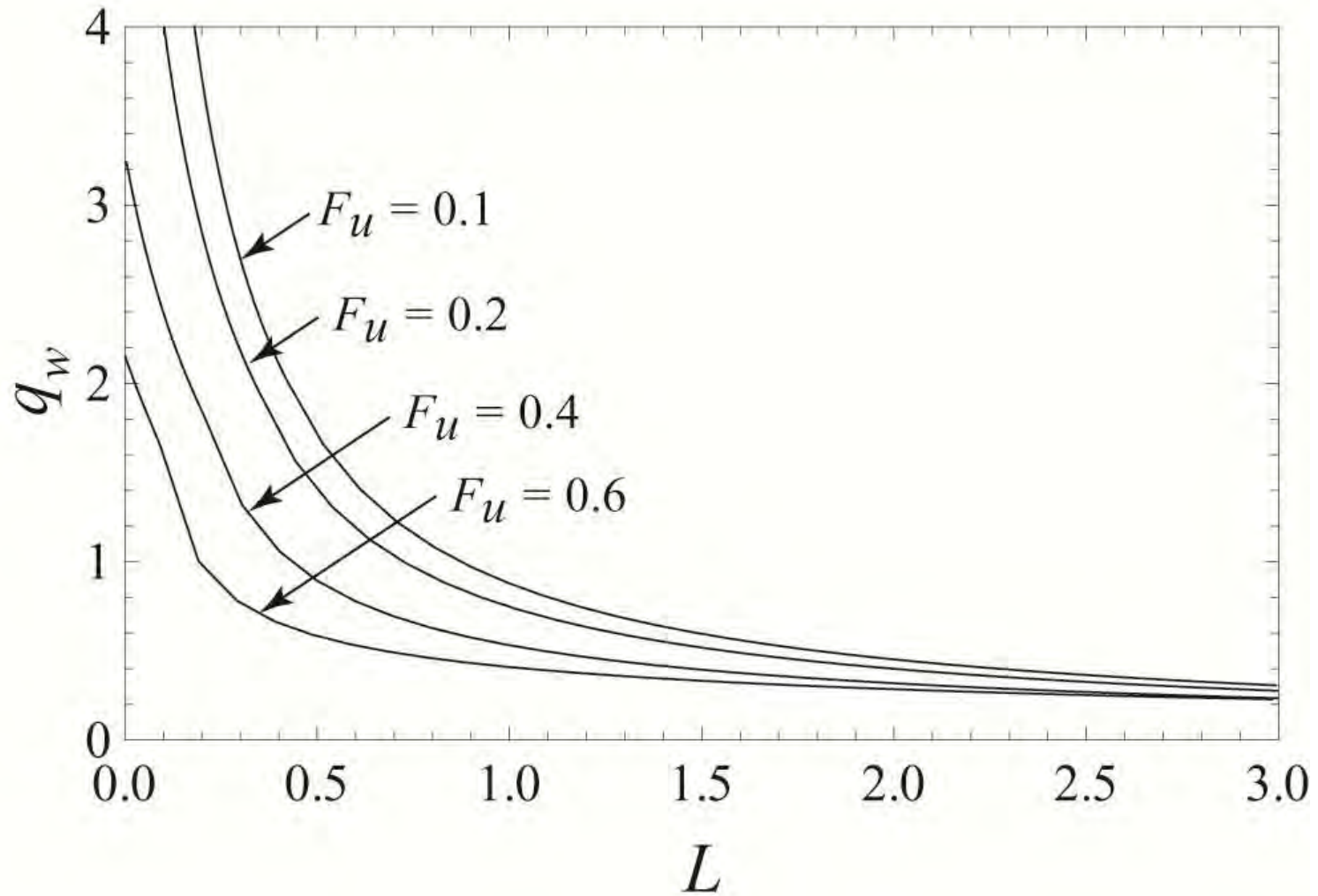
W=1.35	実線と●
W=1.80	点線と○
W=2.30	破線と△

F <sub>u</sub> =0.4	実線と○
F <sub>u</sub> =0.3	点線と●
F <sub>u</sub> =0.2	破線と△

$$q_w = \frac{2}{3} C_M \sqrt{2g} (h-w)^{\frac{3}{2}}$$

ここでは越流係数を定数と仮定

# 破堤口幅の増加に伴う単位幅当たりの流量の変化



# 千代田実験施設の状況

